

# 静电场电场强度/电势

## 一、核心基础公式

1. 高斯定理:  $\varphi_e = \oint \vec{E} \cdot d\vec{S} = \frac{1}{\epsilon_0} \sum q_{\text{内}}$
2. 电势定义式:  $U = \int_r^{\infty} \vec{E} \cdot d\vec{l}$
3. 电场力做功:  $W = \int \vec{F} \cdot d\vec{l} = \int q \vec{E} \cdot d\vec{l}$

## 二、不同带电模型的电场强度( $E$ )与电势( $U$ )计算

### 1. 点电荷模型

- 电场强度:  $E = \frac{\sum q}{4\pi\epsilon_0 r^2}$
- 电势:  $U = \int Edr$  (由电势定义积分推导, 最终简化为  $U = \frac{q}{4\pi\epsilon_0 r}$ )

### 2. 无限大带电平面模型

- 电场强度:  $E = \frac{\sigma}{2\epsilon_0}$  ( $\sigma$  为电荷面密度,  $\sigma = \frac{q}{S}$ )
- 电势 (两平行带电平板间) :  $U = Ed$  ( $d$  为两板间距)

### 3. 带电球面 (半径 $R$ )

区域条件	电场强度 $E$	电势 $U$
$r < R$	$\sum q_{\text{内}} = 0, E = 0$	$U = \int_r^R E_1 dr + \int_R^{\infty} E_2 dr = \frac{q}{4\pi\epsilon_0 R}$
$r > R$	$\sum q_{\text{内}} = q, E = \frac{q}{4\pi\epsilon_0 R^2}$	$U = \int_r^{\infty} \frac{q}{4\pi\epsilon_0 r^2} dr = \frac{q}{4\pi\epsilon_0 r}$

### 4. 带电球壳 (内半径 $R_1$ , 外半径 $R_2$ , 体密度 $\rho$ )

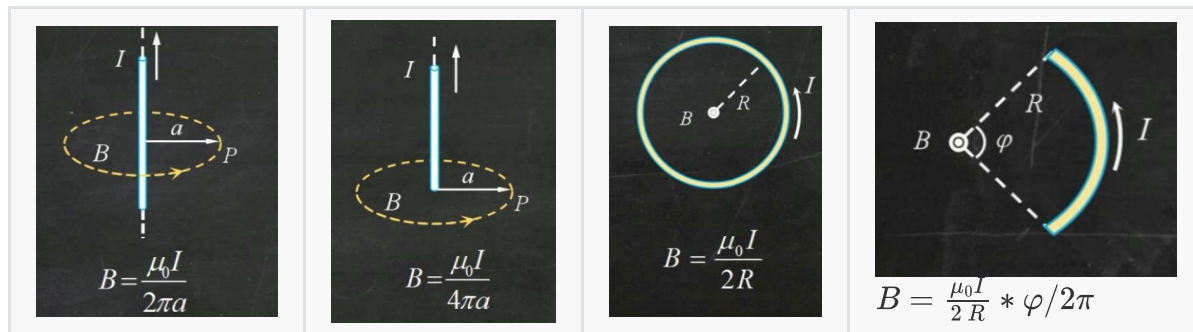
区域条件	电场强度 $E$	电势 $U$
$r < R_1$	$q = 0, E = 0$	$U = \int_r^{R_1} E_1 dr + \int_{R_1}^{R_2} E_2 dr + \int_{R_2}^{\infty} E_3 dr = \frac{\rho}{2\epsilon_0} (R_2^2 - R_1^2)$
$R_1 < r < R_2$	$q = \frac{4\pi\rho}{3}(r^3 - R_1^3), E = \frac{\rho(r^3 - R_1^3)}{3\epsilon_0 r^2}$	$U = \int_r^{R_2} E_2 dr + \int_{R_2}^{\infty} E_3 dr = \frac{\rho}{6\epsilon_0} \left( 3R_2^2 - r^2 - \frac{2R_1^3}{r} \right)$
$r > R_2$	$q = \frac{4\pi\rho}{3}(R_2^3 - R_1^3), E = \frac{\rho(R_2^3 - R_1^3)}{3\epsilon_0 r^2}$	$U = \int_r^{\infty} E_3 dr = \frac{\rho(R_2^3 - R_1^3)}{3\epsilon_0 r}$

### 5. 带电球体 (半径 $R$ , 体密度 $\rho$ )

区域条件	电场强度 $E$	电势 $U$
$r < R$	$q = \rho \cdot \frac{4}{3}\pi r^3, E = \frac{\rho r}{3\epsilon_0}$	$U = \frac{\rho R^2}{2\epsilon_0} - \frac{\rho r^2}{6\epsilon_0}$
$r > R$	$q = \rho \cdot \frac{4}{3}\pi R^3, E = \frac{\rho R^3}{3\epsilon_0 r^2}$	$U = \frac{\rho R^3}{3\epsilon_0 r}$

# 电磁学核心

## 1. 毕奥 - 萨伐尔定律



## 2. 安培环路定理

- 定理表达式:**  $\oint \vec{B} \cdot d\vec{l} = \mu_0 \sum I_{\text{内}}$   $\Rightarrow B = \frac{\mu_0 \sum I_{\text{内}}}{2\pi R}$
- 长直螺线管:**  $B = \mu_0 n I$
- 电流叠加原理:**  $I = J * S$  ( $J$ 为电流密度)

## 3. 磁通量与电磁感应

- 核心公式:**  $\Phi_m = \vec{B} \cdot \vec{S}$   $\varepsilon = -\frac{d\Phi}{dt}$
- 高斯定理:** 稳衡磁场中, 穿过任一闭合曲面的总磁通量为0
- 楞次定律:** 来拒去留

类型	公式	方向判断方法
<b>感生电动势</b>	$\varepsilon = -\frac{d\Phi}{dt} = \frac{N * dB}{dt}$ ( $N$ 为匝数, $\Phi$ 为磁通量)	<b>右手螺旋定则:</b> 根据感应电流的磁场方向, 用右手螺旋定则判断出感应电流的方向, 即为感生电动势的方向 (在电源内部)
<b>动生电动势</b>	$\varepsilon = BLv$ ( $B$ 为磁感应强度, $L$ 为导体有效长度, $v$ 为导体垂直切割磁感线的速度)	<b>右手定则:</b> 伸开右手, 让磁感线从掌心进入, 并使拇指指向导线运动方向, 这时四指所指的方向就是动生电动势的方向 (在电源内部)

## 4. 磁场对电流 / 电荷的作用力

类型	公式	方向判断
<b>安培力</b>	$F = BIL$	左手定则: 磁感线穿掌心, 四指指向电流方向, 拇指指向安培力方向 (垂直于电流与磁场平面)
<b>洛伦兹力</b>	圆: $F = Bqv = m\frac{v^2}{R}$ $R = \frac{mv}{qB}, T = 2\pi * \frac{m}{Bq}$	左手定则: 磁感线穿掌心, 四指指向 <b>正电荷</b> 运动方向 (负电荷则反向), 拇指指向洛伦兹力方向 (垂直于速度与磁场平面)

## 5. 磁矩/磁力矩

- **磁矩:**  $P_m = I * S$
- **磁力矩:**  $M = B * P_m * \sin \theta$  ( $\theta$ 为其夹角)
- **磁力矩做功:**  $A = I * \Delta \varphi_m$

## 6. 自感/互感

- **自感:**  $L = \frac{\varphi}{I}$ ,  $\varepsilon_L = -L \frac{dI}{dt}$  (L为自感系数,与电流无关)
- **磁场能量:**  $W = \frac{1}{2} L I^2$
- **互感:**  $M = \frac{\Psi_{21}}{I_1} = \frac{\Psi_{12}}{I_2}$

## 7. 静电场/感生电场

场的类型	场的性质	场线特点	其他特征
静电场	保守场、有源场	非闭合	
感生电场	非保守场、无源场、有旋场	闭合	环路上 $\vec{E}_r$ 大小处处相等, 方向不同

## 光学核心

### 1. 薄膜干涉 (等倾干涉, 牛顿环, 剪尖干涉)

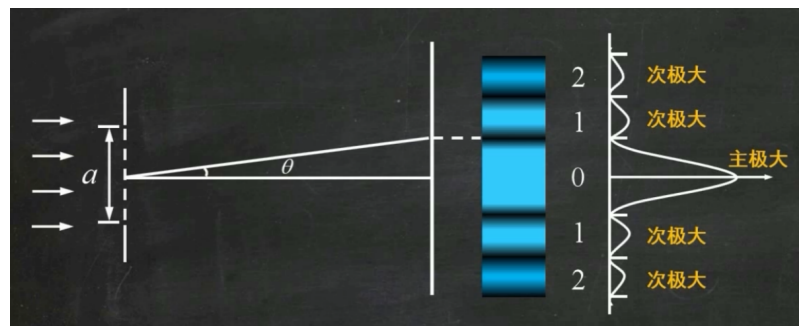
- **光程差公式:**  $(\delta = 2nd + \frac{\lambda}{2})$  ( $n$  为薄膜折射率,  $d$  为膜厚,  $\frac{\lambda}{2}$  是半波损失, 当  $(n_1 < n_2 < n_3)$  或  $(n_1 > n_2 > n_3)$  时, 无半波损失)
- **明暗纹条件:**  $\delta = \begin{cases} k\lambda & (k = 0, 1, 2, \dots) \text{ 明纹} \\ (2k+1)\frac{\lambda}{2} & (k = 0, 1, 2, \dots) \text{ 暗纹} \end{cases}$
- 等倾干涉



### 2. 双缝干涉

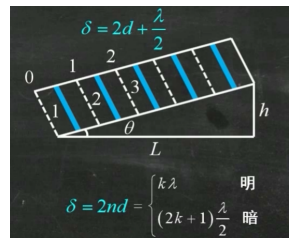
- **条纹间距:**  $(\Delta x = \frac{D\lambda}{d})$  ( $D$  为缝到屏的距离,  $d$  为双缝间距)
- **两个k级明条纹间距:**  $x_k - x_{-k} = 2k * \frac{D\lambda}{d}$

### 3. 单缝衍射



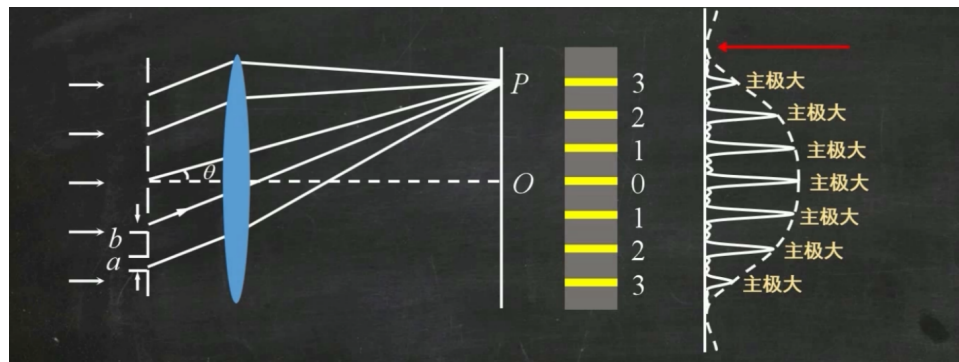
- 光程差与衍射角关系: ( $\delta = a \sin \theta$ )
- 明暗纹条件:  $a \sin \theta = \begin{cases} \pm k\lambda & (k = 1, 2, 3, \dots) \text{ 暗纹} \\ \pm (2k+1) \frac{\lambda}{2} & (k = 0, 1, 2, \dots) \text{ 明纹} \end{cases}$
- 中央明纹宽度: ( $\Delta x_0 = \frac{2\lambda D}{a}$ )
- 次明纹宽度: ( $\Delta x = \frac{\lambda D}{a}$ )
- 暗纹中心位置: ( $x = \pm k \frac{\lambda D}{a}$ )
- 明纹中心位置: ( $x = \pm \frac{2k+1}{2} \frac{\lambda D}{a}$ )

### 4. 剪尖干涉



- 光程差及明暗条纹条件同薄膜干涉
- 高度差:  $\Delta h = \frac{\lambda}{2n}$
- 间距:  $l \sin \theta = \frac{\lambda}{2n}$

### 5. 光栅衍射



- 光栅方程 (主极大条件): ( $(a+b) \sin \theta = \pm k\lambda$ ) ( $d = a+b$  为光栅常数,  $k$  为衍射级次)
- 主极大最大级次: ( $k_{\max} = \frac{a+b}{\lambda}$ ) (取整数部分)
- 缺级现象: 当 ( $\frac{a+b}{a} = \frac{k}{k'}$ ) 时,  $k$  级主极大缺级 ( $k'$  为单缝衍射暗纹级次)
  - $k=3$  时, 中央明条纹共有 5 条谱线 ( $-2, -1, 0, 1, 2$ )

## 6. 偏振

- **马吕斯定律:** ( $I_2 = I_1 \cos^2 \alpha$ ) ( $\alpha$  为起偏器与检偏器的偏振化方向夹角)
- **自然光通过起偏器:** 光强减半 ( $I_1 = \frac{1}{2} I_0$ )
- **布儒斯特定律:** 当入射角 ( $i_0$ ) 满足 ( $\tan i_0 = \frac{n_2}{n_1}$ ) 时, 反射光为线偏振光 (振动方向垂直入射面), 折射光为部分偏振光。

## 7. 迈克尔逊干涉仪

- **光程差变化与移动距离关系:** ( $\Delta d = N \cdot \frac{\lambda}{2}$ ) (N 为条纹移动数,  $\Delta d$  为反射镜移动距离)

# 量子物理核心

---

## 1. 光子能量

- $\varepsilon = h\nu$  ( $h$  为普朗克常量,  $\nu$  为光的频率)

## 2. 光电效应

- 爱因斯坦**光电效应方程:**  $h\nu = W_0 + E_k$  ( $W_0$ ) 为金属的逸出功, ( $E_k$ ) 为光电子的最大初动能
- 截止频率 (红限频率) :  $\nu_0 = \frac{W_0}{h}$
- 遏止电压与最大初动能关系:  $E_k = eU_c$  ( $e$  为元电荷,  $U_c$  为遏止电压)

## 3. 光子动量

- $p = \frac{E}{c} = \frac{h}{\lambda}$  ( $E$ ) 为光子能量, ( $c$ ) 为真空中光速, ( $\lambda$ ) 为光的波长

## 4. 康普顿效应 (康普顿偏移)

- 散射光中有些波长比入射光的波长**长**, 且随散射角增大而增大, 有些散射光波长与入射光波长**相同**, 这都与散射体的性质无关.
- $\Delta\lambda = \lambda' - \lambda = \frac{h}{m_0 c} (1 - \cos \theta)$   
( $m_0$ ) 为电子静质量, ( $\theta$ ) 为散射角, ( $\frac{h}{m_0 c}$ ) 为康普顿波长)
- $\theta$  为  $\pi$ , 散射光子的频率**小的最多**;  $\theta$  为 0, 散射光子的频率与入射光子**相同**

## 5. 德布罗意波 (物质波)

- $\lambda = \frac{h}{p}$  ( $p$ ) 为粒子的动量

## 6. 带电粒子加速的动能关系

- $E_k = eU = \frac{1}{2}mv^2 = \frac{p^2}{2m}$  ( $U$ ) 为加速电压, ( $m$ ) 为粒子质量, ( $v$ ) 为粒子速度